

# ANILQUILAÇÃO

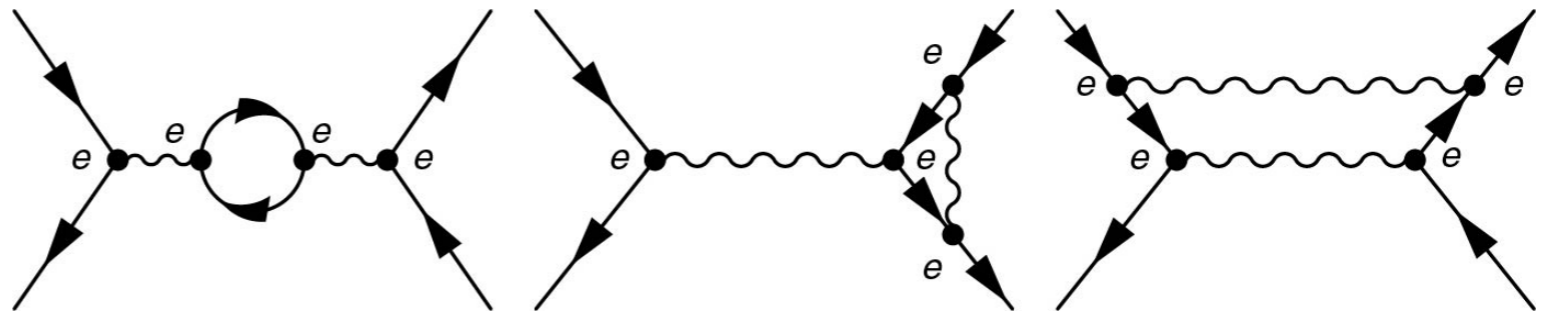
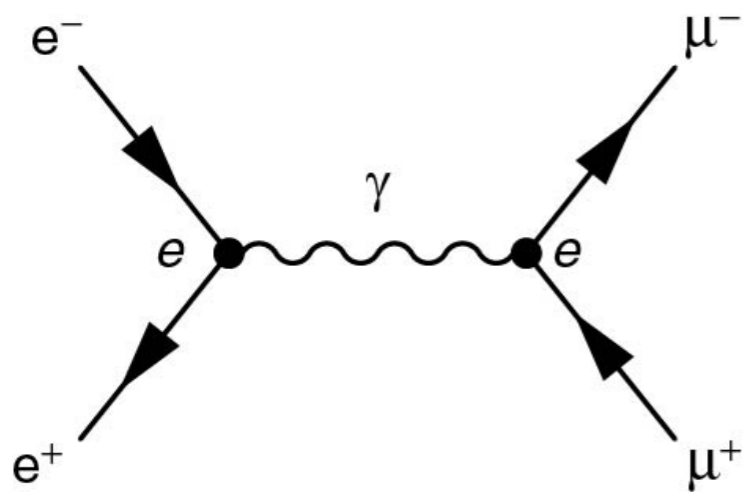
$$e^{-} + e^{+} \rightarrow \mu^{-} + \mu^{+}$$



# CÁLCULOS EM QED

- A contribuição dominante p/ seção de choque ou taxa de decaimento é tipicamente o diagrama de Feynman com o número mais baixo de vértices de interação (ordem mais baixa - *L.O.*);

$$e^- + e^+ \rightarrow \mu^- + \mu^+$$



$$|\mathcal{M}|^2 \propto \alpha^2 = \left(\frac{e^2}{4\pi}\right)^2$$

*Leading Order (LO)*

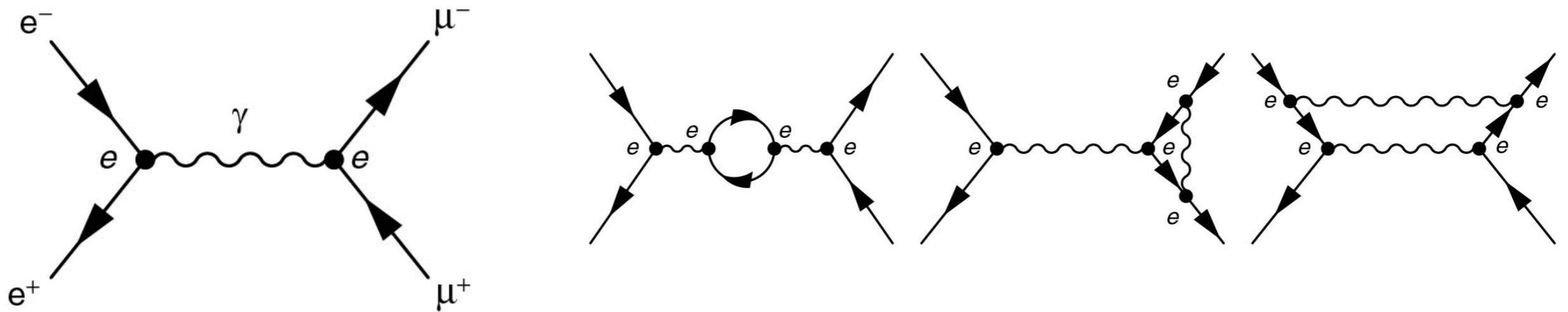
$$|\mathcal{M}|^2 \propto \alpha^4 = \left(\frac{e^2}{4\pi}\right)^4$$

*Next-to-leading order (NLO)*

- A contribuição de cada termo pode ser calculada utilizando as regras de Feynman.

# CÁLCULOS EM QED

$$e^- + e^+ \rightarrow \mu^- + \mu^+$$



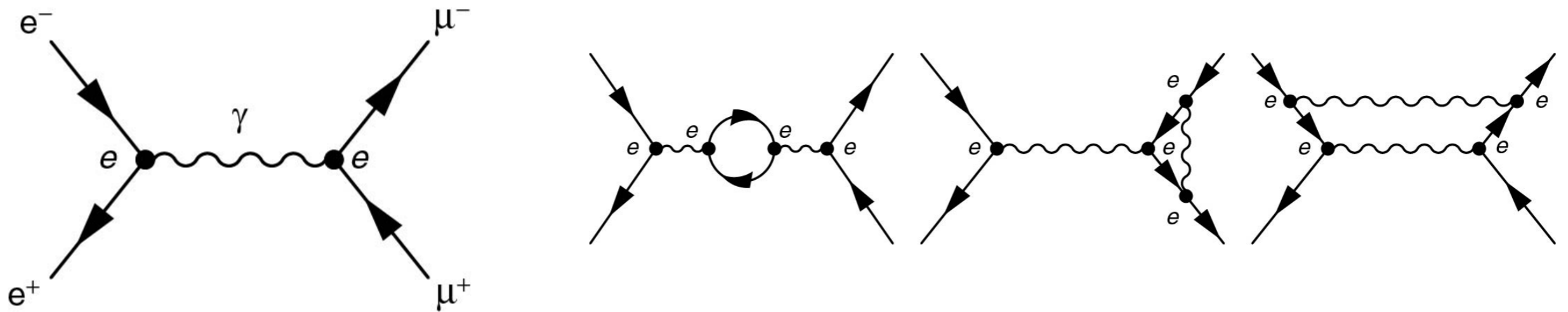
$$\mathcal{M}_{fi} = \mathcal{M}_{LO} + \sum_j \mathcal{M}_{NLO,j} + (\dots)$$

Fatorando a dependência em  $\alpha$  para cada termo:

$$\mathcal{M}_{fi} = \alpha \mathcal{M}_{LO} + \alpha^2 \sum_j \mathcal{M}_{NLO,j} + (\dots)$$

# CÁLCULOS EM QED

$$e^- + e^+ \rightarrow \mu^- + \mu^+$$



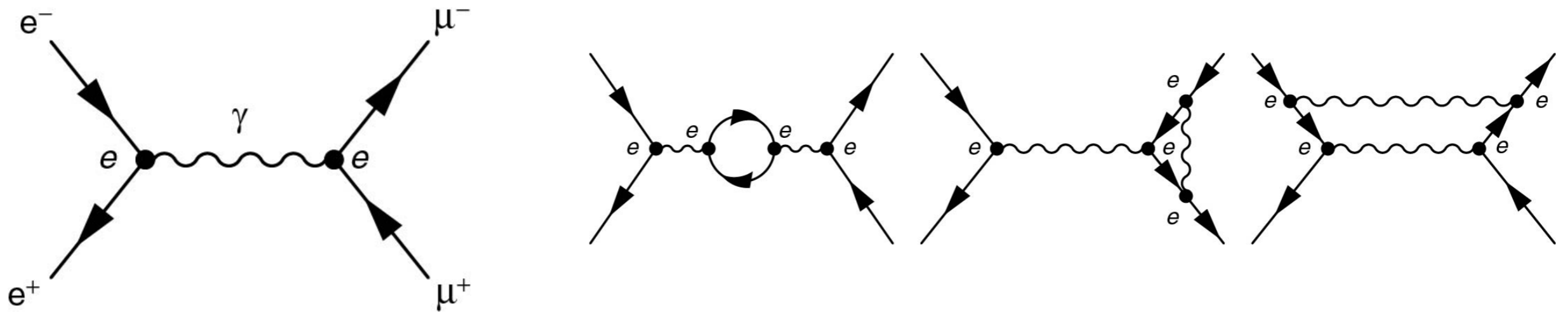
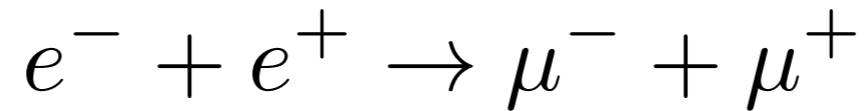
$$\mathcal{M}_{fi} = \mathcal{M}_{LO} + \sum_j \mathcal{M}_{NLO,j} + (\dots)$$

Fatorando a dependência em  $\alpha$  para cada termo:

$$\mathcal{M}_{fi} = \alpha \mathcal{M}_{LO} + \alpha^2 \sum_j \mathcal{M}_{NLO,j} + (\dots)$$

$$|\mathcal{M}_{fi}|^2 = \left( \alpha \mathcal{M}_{LO} + \alpha^2 \sum_j \mathcal{M}_{NLO,j} + (\dots) \right) \left( \alpha \mathcal{M}_{LO}^* + \alpha^2 \sum_j \mathcal{M}_{NLO,j}^* + (\dots) \right)$$

# CÁLCULOS EM QED



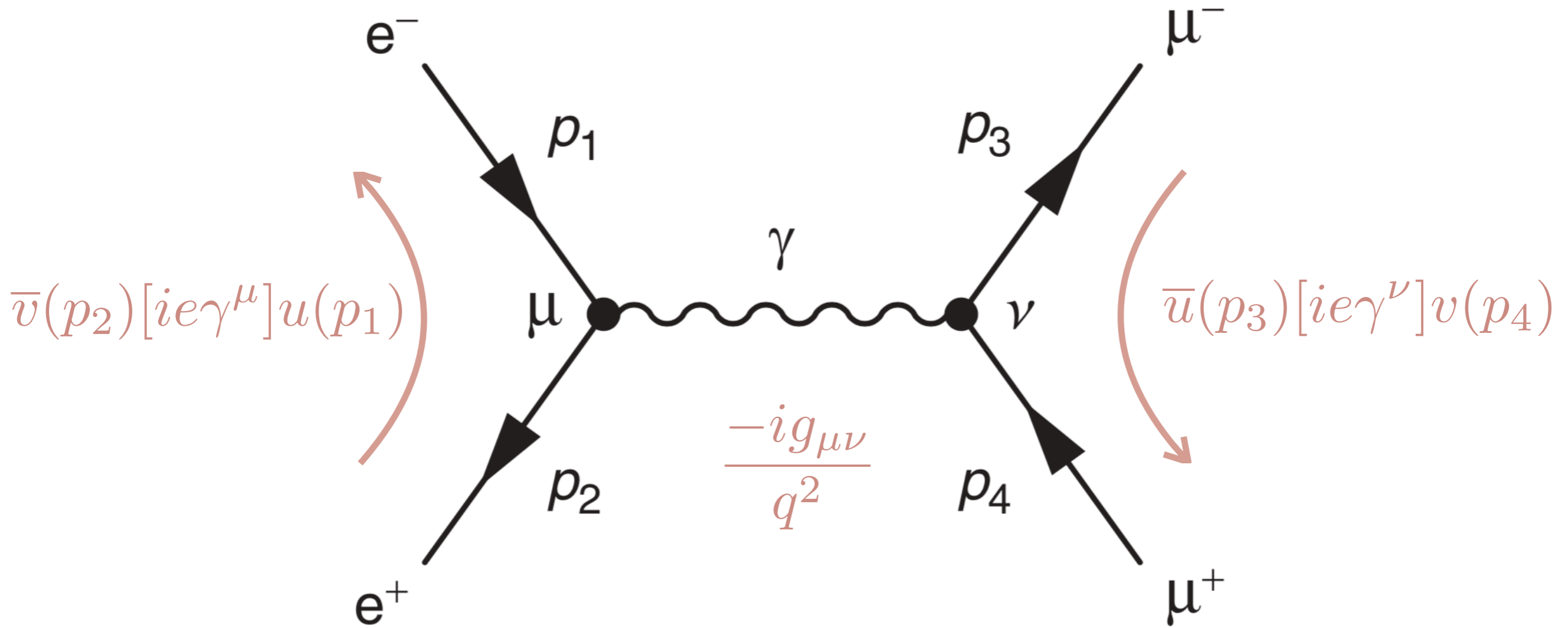
$$\mathcal{M}_{fi} = \mathcal{M}_{LO} + \sum_j \mathcal{M}_{NLO,j} + (\dots)$$

Fatorando a dependência em  $\alpha$  para cada termo:

$$|\mathcal{M}_{fi}|^2 = \alpha^2 |\mathcal{M}_{LO}|^2 + \alpha^3 \sum_j (\mathcal{M}_{LO} \mathcal{M}_{NLO,j}^* + \mathcal{M}_{LO}^* \mathcal{M}_{NLO,j}) + \alpha^4 (\dots)$$



Supressão por fator (1/137)! Usaremos apenas os termos LO (erro ~1%)



$$-i\mathcal{M} = [\bar{v}(p_2)\{ie\gamma^\mu\}u(p_1)] \frac{-ig_{\mu\nu}}{q^2} [\bar{u}(p_3)\{ie\gamma^\nu\}v(p_4)]$$

$$\mathcal{M} = -\frac{e^2}{q^2} g_{\mu\nu} [\bar{v}(p_2)\gamma^\mu u(p_1)] [\bar{u}(p_3)\gamma^\nu v(p_4)]$$

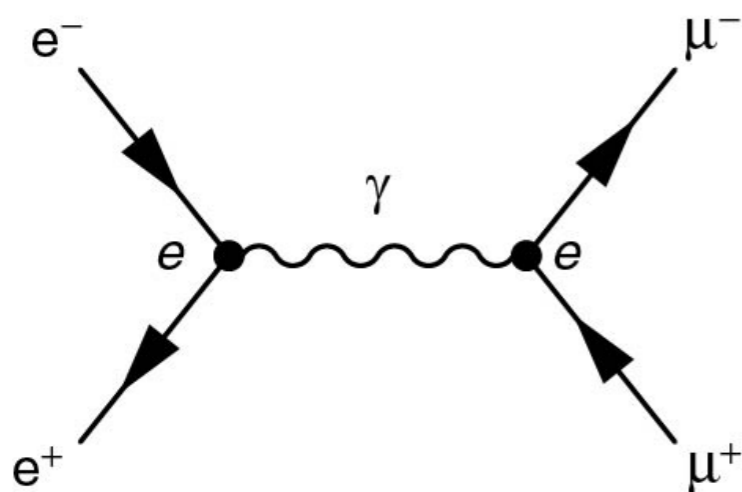
# ELEMENTO DE MATRIZ

Já calculamos em sala o elemento de matriz para o diagrama LO:

$$\begin{aligned} \mathcal{M} &= -\frac{e^2}{q^2} g_{\mu\nu} [\bar{v}(p_2) \gamma^\mu u(p_1)] [\bar{u}(p_3) \gamma^\nu v(p_4)] \\ &= -\frac{e^2}{q^2} g_{\mu\nu} j_e^\mu j_\mu^\nu \end{aligned}$$

Com as 4-correntes do elétron e do múon definidas como:

$$j_e^\mu = \bar{v}(p_2) \gamma^\mu u(p_1) \quad j_\mu^\nu = \bar{u}(p_3) \gamma^\nu v(p_4)$$



Note que:

$$q = p_1 + p_2 = p_3 + p_4$$

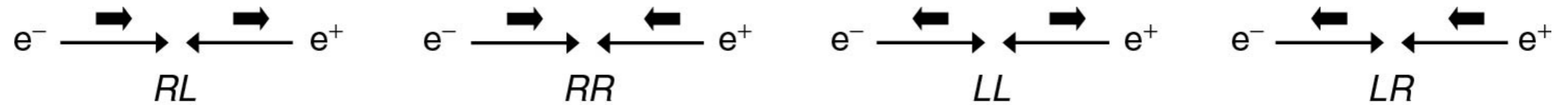
$$\Rightarrow q^2 = (p_1 + p_2)^2 = s \rightarrow \text{(Energia do C.M.)}^2$$

$$\Rightarrow \mathcal{M} = -\frac{e^2}{s} j_e \cdot j_\mu \rightarrow \text{Invariante de Lorentz}$$

# SOMA SOBRE SPINS

- Precisamos levar em conta todos os possíveis estados de spin das partículas envolvidas.

- 4 combinações possíveis no estado inicial:



- 4 combinações análogas possíveis no estado final;
- 16 possíveis combinações de helicidade. Ex:  $RL \rightarrow RR$ ,  $RL \rightarrow RL$ , etc.
- Somamos sobre as 16 configurações possíveis e tiramos a média sobre o número de estados iniciais de helicidade:

$$\langle |\mathcal{M}| \rangle = \frac{1}{4} \sum_{\text{spins}} |\mathcal{M}_i| = \frac{1}{4} (|\mathcal{M}_{LL \rightarrow LL}|^2 + |\mathcal{M}_{LL \rightarrow LR}|^2 + \dots)$$

Ou seja, precisamos calcular  $\mathcal{M} = -\frac{e^2}{s} j_e \cdot j_\mu$  para as 16 combinações!!!

Para nossa sorte, no limite  $\sqrt{s} \gg m_\mu$  apenas 4 combinações são não-nulas.



# AUTO-ESTADOS DE HELICIDADE

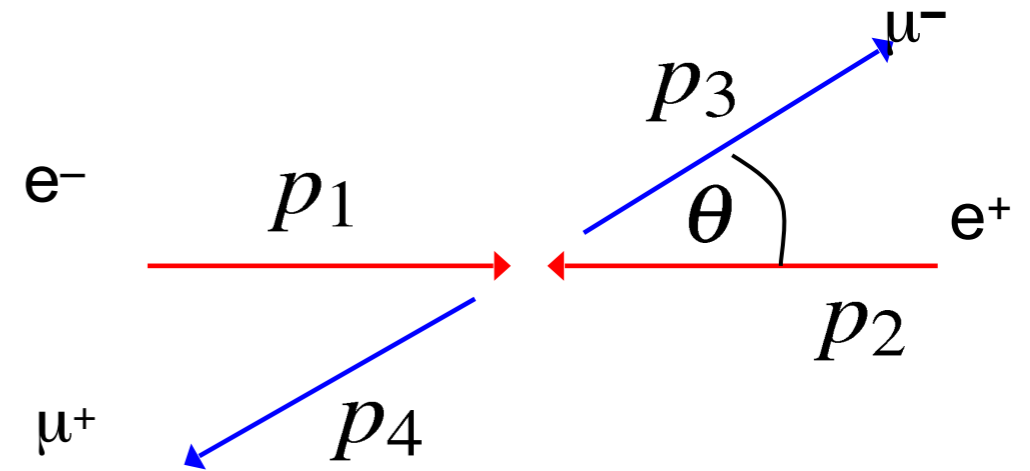
No limite  $E \gg m$ :

$$p_1 = (E, 0, 0, E)$$

$$p_2 = (E, 0, 0, -E)$$

$$p_3 = (E, E \sin \theta, 0, E \cos \theta)$$

$$p_4 = (E, -E \sin \theta, 0, -E \cos \theta)$$



(Assumimos que o estado final é formado com ângulos azimutais 0 e  $\pi$ ).

Os espinores que aparecem nas correntes são os auto-estados de helicidade:

$$u_{\uparrow} = N \begin{pmatrix} c \\ e^{i\phi} s \\ \frac{|\vec{p}|}{E+m} c \\ \frac{|\vec{p}|}{E+m} e^{i\phi} s \end{pmatrix} \quad u_{\downarrow} = N \begin{pmatrix} -s \\ e^{i\phi} c \\ \frac{|\vec{p}|}{E+m} s \\ -\frac{|\vec{p}|}{E+m} e^{i\phi} c \end{pmatrix} \quad v_{\uparrow} = N \begin{pmatrix} \frac{|\vec{p}|}{E+m} s \\ -\frac{|\vec{p}|}{E+m} e^{i\phi} c \\ -s \\ e^{i\phi} c \end{pmatrix} \quad v_{\downarrow} = N \begin{pmatrix} \frac{|\vec{p}|}{E+m} c \\ \frac{|\vec{p}|}{E+m} e^{i\phi} s \\ c \\ e^{i\phi} s \end{pmatrix}$$

$$s = \sin(\theta/2), c = \cos(\theta/2), N = \sqrt{E+m}$$

No limite acima:

$$u_{\uparrow} = \sqrt{E} \begin{pmatrix} c \\ se^{i\phi} \\ c \\ se^{i\phi} \end{pmatrix}; \quad u_{\downarrow} = \sqrt{E} \begin{pmatrix} -s \\ ce^{i\phi} \\ s \\ -ce^{i\phi} \end{pmatrix}; \quad v_{\uparrow} = \sqrt{E} \begin{pmatrix} s \\ -ce^{i\phi} \\ -s \\ ce^{i\phi} \end{pmatrix}; \quad v_{\downarrow} = \sqrt{E} \begin{pmatrix} c \\ se^{i\phi} \\ c \\ se^{i\phi} \end{pmatrix}$$

# COMBINAÇÕES DE HELICIDADE

$e^-$  inicial ( $\theta = 0, \phi = 0$ )

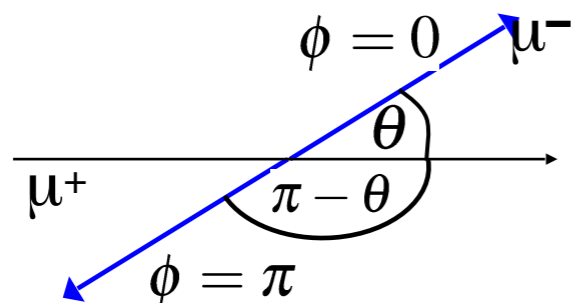
$e^+$  inicial ( $\theta = \pi, \phi = \pi$ )

$$u_{\uparrow}(p_1) = \sqrt{E} \begin{pmatrix} 1 \\ 0 \\ 1 \\ 0 \end{pmatrix}; u_{\downarrow}(p_1) = \sqrt{E} \begin{pmatrix} 0 \\ 1 \\ 0 \\ -1 \end{pmatrix}; v_{\uparrow}(p_2) = \sqrt{E} \begin{pmatrix} 1 \\ 0 \\ -1 \\ 0 \end{pmatrix}; v_{\downarrow}(p_2) = \sqrt{E} \begin{pmatrix} 0 \\ 1 \\ 0 \\ 1 \end{pmatrix}$$

$\mu^-$  final ( $\phi = 0$ )

$\mu^+$  final ( $\phi = \pi, \theta \rightarrow \pi - \theta$ )

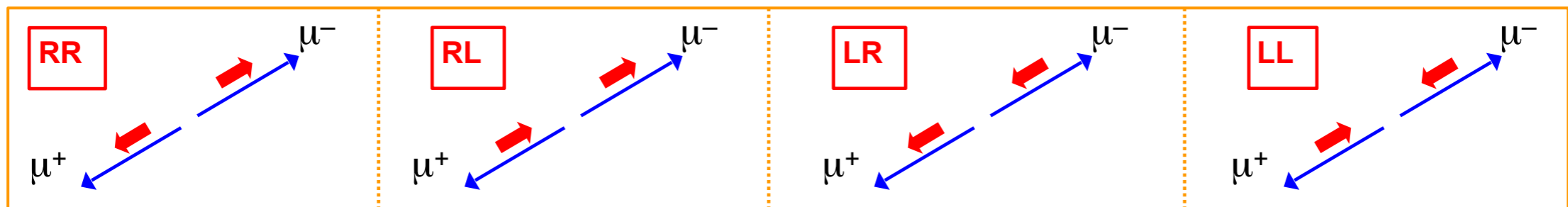
$$u_{\uparrow}(p_3) = \sqrt{E} \begin{pmatrix} c \\ s \\ c \\ s \end{pmatrix}; u_{\downarrow}(p_3) = \sqrt{E} \begin{pmatrix} -s \\ c \\ s \\ -c \end{pmatrix}; v_{\uparrow}(p_4) = \sqrt{E} \begin{pmatrix} c \\ s \\ -c \\ -s \end{pmatrix}; v_{\downarrow}(p_4) = \sqrt{E} \begin{pmatrix} s \\ -c \\ s \\ -c \end{pmatrix};$$



$$\left\{ \begin{array}{l} \sin\left(\frac{\pi-\theta}{2}\right) = \cos\frac{\theta}{2} \\ \cos\left(\frac{\pi-\theta}{2}\right) = \sin\frac{\theta}{2} \\ e^{i\pi} = -1 \end{array} \right.$$

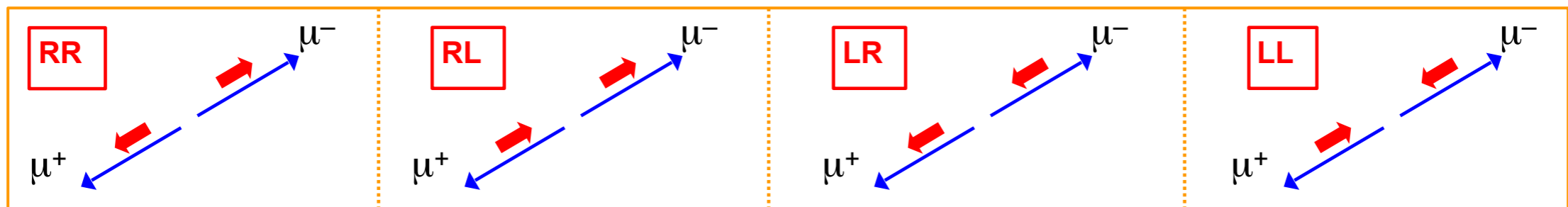
# A CORRENTE DO MÚON

Para calcular  $\mathcal{M} = -\frac{e^2}{s} j_e \cdot j_\mu$  consideremos a 4-corrente  $j_\mu^\nu = \bar{u}(p_3)\gamma^\nu v(p_4)$  para as 4 combinações possíveis de helicidade:



# A CORRENTE DO MÚON

Para calcular  $\mathcal{M} = -\frac{e^2}{s} j_e \cdot j_\mu$  consideremos a 4-corrente  $j_\mu^\nu = \bar{u}(p_3)\gamma^\nu v(p_4)$  para as 4 combinações possíveis de helicidade:



Sendo  $\Phi$  e  $\Psi$  espinores quaisquer, podemos utilizar a forma explícita das matrizes  $\Upsilon$  para calcular as componentes:

$$\gamma^0 = \begin{pmatrix} 1 & 0 & 0 & 0 \\ 0 & 1 & 0 & 0 \\ 0 & 0 & -1 & 0 \\ 0 & 0 & 0 & -1 \end{pmatrix}, \quad \gamma^1 = \begin{pmatrix} 0 & 0 & 0 & 1 \\ 0 & 0 & 1 & 0 \\ 0 & -1 & 0 & 0 \\ -1 & 0 & 0 & 0 \end{pmatrix},$$

$$\gamma^2 = \begin{pmatrix} 0 & 0 & 0 & -i \\ 0 & 0 & i & 0 \\ 0 & i & 0 & 0 \\ -i & 0 & 0 & 0 \end{pmatrix}, \quad \gamma^3 = \begin{pmatrix} 0 & 0 & 1 & 0 \\ 0 & 0 & 0 & -1 \\ -1 & 0 & 0 & 0 \\ 0 & 1 & 0 & 0 \end{pmatrix}.$$

$$\bar{\psi}\gamma^0\phi = \psi^\dagger\gamma^0\gamma^0\phi$$

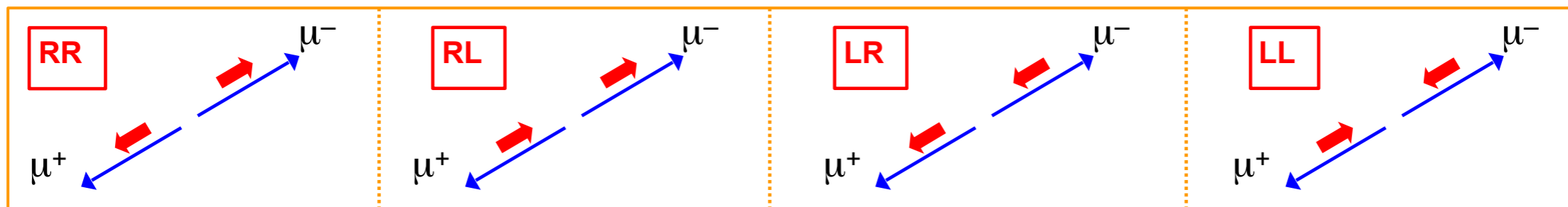
$$= \psi^\dagger \begin{pmatrix} 1 & 0 & 0 & 0 \\ 0 & 1 & 0 & 0 \\ 0 & 0 & -1 & 0 \\ 0 & 0 & 0 & -1 \end{pmatrix} \begin{pmatrix} 1 & 0 & 0 & 0 \\ 0 & 1 & 0 & 0 \\ 0 & 0 & -1 & 0 \\ 0 & 0 & 0 & -1 \end{pmatrix} \phi$$

$$= \psi_1^*\phi_1 + \psi_2^*\phi_2 + \psi_3^*\phi_3 + \psi_4^*\phi_4$$



# A CORRENTE DO MÚON

Para calcular  $\mathcal{M} = -\frac{e^2}{s} j_e \cdot j_\mu$  consideremos a 4-corrente  $j_\mu^\nu = \bar{u}(p_3)\gamma^\nu v(p_4)$  para as 4 combinações possíveis de helicidade:



Sendo  $\Phi$  e  $\Psi$  espinores quaisquer, podemos utilizar a forma explícita das matrizes  $\Upsilon$  para calcular as componentes:

$$\begin{aligned} \bar{\psi}\gamma^0\phi &= \psi^\dagger\gamma^0\gamma^0\phi = \psi_1^*\phi_1 + \psi_2^*\phi_2 + \psi_3^*\phi_3 + \psi_4^*\phi_4 \\ \bar{\psi}\gamma^1\phi &= \psi^\dagger\gamma^0\gamma^1\phi = \psi_1^*\phi_4 + \psi_2^*\phi_3 + \psi_3^*\phi_2 + \psi_4^*\phi_1 \\ \bar{\psi}\gamma^2\phi &= \psi^\dagger\gamma^0\gamma^2\phi = -i(\psi_1^*\phi_4 - \psi_2^*\phi_3 + \psi_3^*\phi_2 - \psi_4^*\phi_1) \\ \bar{\psi}\gamma^3\phi &= \psi^\dagger\gamma^0\gamma^3\phi = \psi_1^*\phi_3 - \psi_2^*\phi_4 + \psi_3^*\phi_1 - \psi_4^*\phi_2 \end{aligned}$$

# A CORRENTE DO MÚON

Considere a combinação final  $\mu_R^- + \mu_L^+$  com  $\psi = u_\uparrow, \phi = v_\downarrow$ ,

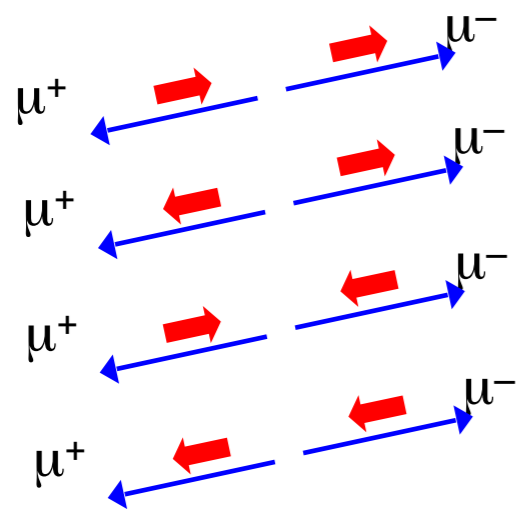
$$v_\downarrow = \sqrt{E} \begin{pmatrix} s \\ -c \\ s \\ -c \end{pmatrix}; u_\uparrow = \sqrt{E} \begin{pmatrix} c \\ s \\ c \\ s \end{pmatrix};$$

$$\begin{aligned} \Rightarrow \quad \bar{u}_\uparrow(p_3)\gamma^0 v_\downarrow(p_4) &= E(cs - sc + cs - sc) = 0 \\ \bar{u}_\uparrow(p_3)\gamma^1 v_\downarrow(p_4) &= E(-c^2 + s^2 - c^2 + s^2) = 2E(s^2 - c^2) = -2E \cos \theta \\ \bar{u}_\uparrow(p_3)\gamma^2 v_\downarrow(p_4) &= -iE(-c^2 - s^2 - c^2 - s^2) = 2iE \\ \bar{u}_\uparrow(p_3)\gamma^3 v_\downarrow(p_4) &= E(cs + sc + cs + sc) = 4Esc = 2E \sin \theta \end{aligned}$$

$$\Rightarrow \quad \boxed{\bar{u}_\uparrow(p_3)\gamma^\nu v_\downarrow(p_4) = 2E(0, -\cos \theta, i, \sin \theta)}$$

# A CORRENTE DO MÚON (COMBINAÇÕES DE HELICIDADE)

Repetindo o procedimento para as 4 combinações:



$$\bar{u}_{\uparrow}(p_3)\gamma^{\nu}v_{\downarrow}(p_4) = 2E(0, -\cos\theta, i, \sin\theta)$$

**RL**

$$\bar{u}_{\uparrow}(p_3)\gamma^{\nu}v_{\uparrow}(p_4) = (0, 0, 0, 0)$$

**RR**

$$\bar{u}_{\downarrow}(p_3)\gamma^{\nu}v_{\downarrow}(p_4) = (0, 0, 0, 0)$$

**LL**

$$\bar{u}_{\downarrow}(p_3)\gamma^{\nu}v_{\uparrow}(p_4) = 2E(0, -\cos\theta, -i, \sin\theta)$$

**LR**

No limite  $E \gg m$ , apenas duas combinações finais de helicidade são não-nulas!

De maneira similar, para a corrente do elétron:



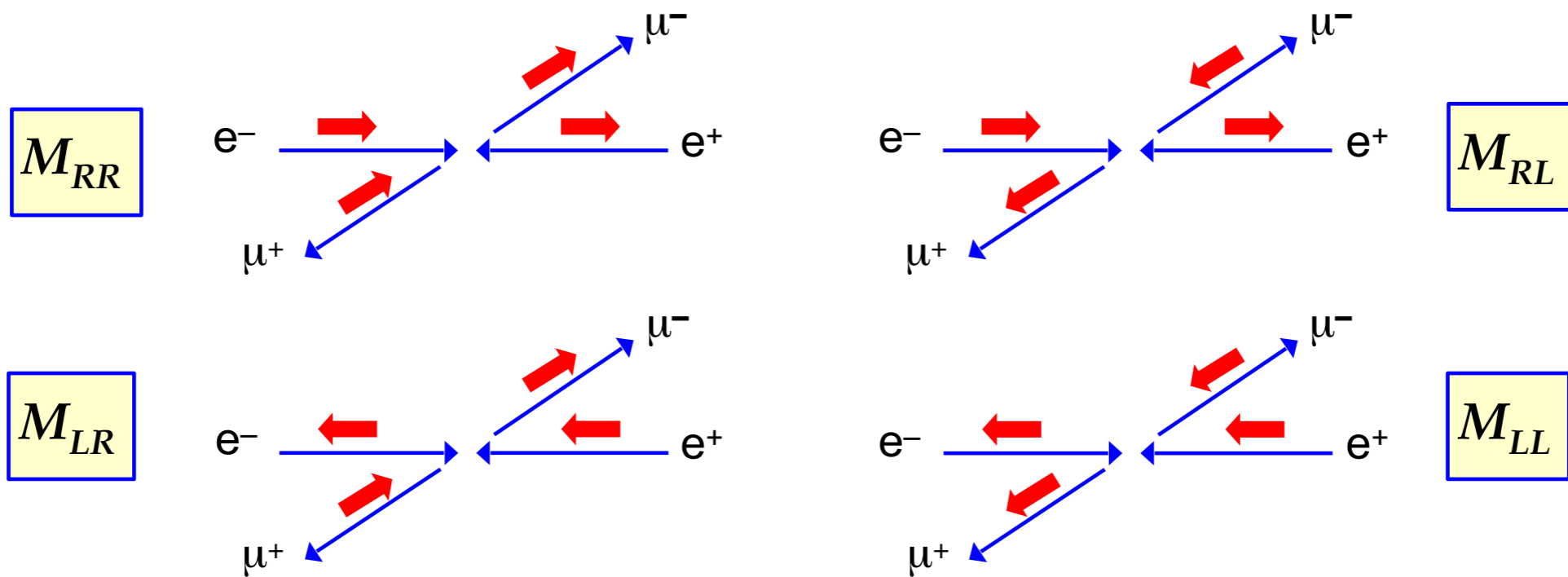
$$e_R^- e_L^+ : \quad \bar{v}_{\downarrow}(p_2)\gamma^{\nu}u_{\uparrow}(p_1) = 2E(0, -1, -i, 0)$$



$$e_L^- e_R^+ : \quad \bar{v}_{\uparrow}(p_2)\gamma^{\nu}u_{\downarrow}(p_1) = 2E(0, -1, i, 0)$$

# ELEMENTOS DE MATRIZ

Precisamos, então, calcular 4 elementos de matriz:



Notação: o elemento de matriz de  $e_R^- + e_L^+ \rightarrow \mu_R^- + \mu_L^+$  é escrito  $M_{RR}$

Para esse processo:  $e_R^- e_L^+ : (j_e)^\mu = \bar{v}_\downarrow(p_2) \gamma^\mu u_\uparrow(p_1) = 2E(0, -1, -i, 0)$

$\mu_R^- \mu_L^+ : (j_\mu)^\nu = \bar{u}_\uparrow(p_3) \gamma^\nu v_\downarrow(p_4) = 2E(0, -\cos \theta, i, \sin \theta)$

Finalmente: 
$$M_{RR} = -\frac{e^2}{s} [2E(0, -1, -i, 0)] \cdot [2E(0, -\cos \theta, i, \sin \theta)]$$

$$= -e^2(1 + \cos \theta)$$

$$= -4\pi\alpha(1 + \cos \theta)$$

$$s = (p_1 + p_2)^2 = (E + E)^2 = 4E^2$$

$$\alpha = e^2/4\pi \approx 1/137$$

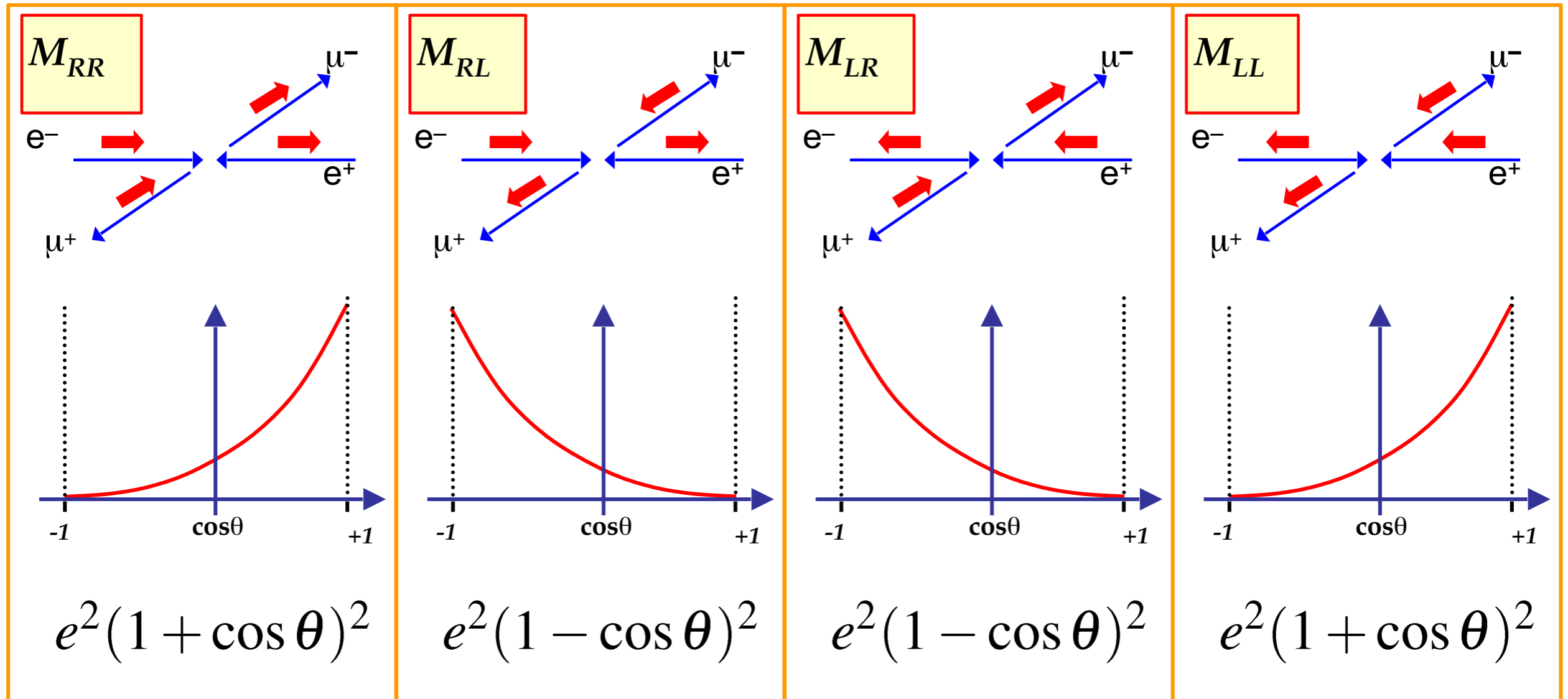


# AMPLITUDES

Então:

$$|M_{RR}|^2 = |M_{LL}|^2 = (4\pi\alpha)^2(1 + \cos\theta)^2$$

$$|M_{RL}|^2 = |M_{LR}|^2 = (4\pi\alpha)^2(1 - \cos\theta)^2$$



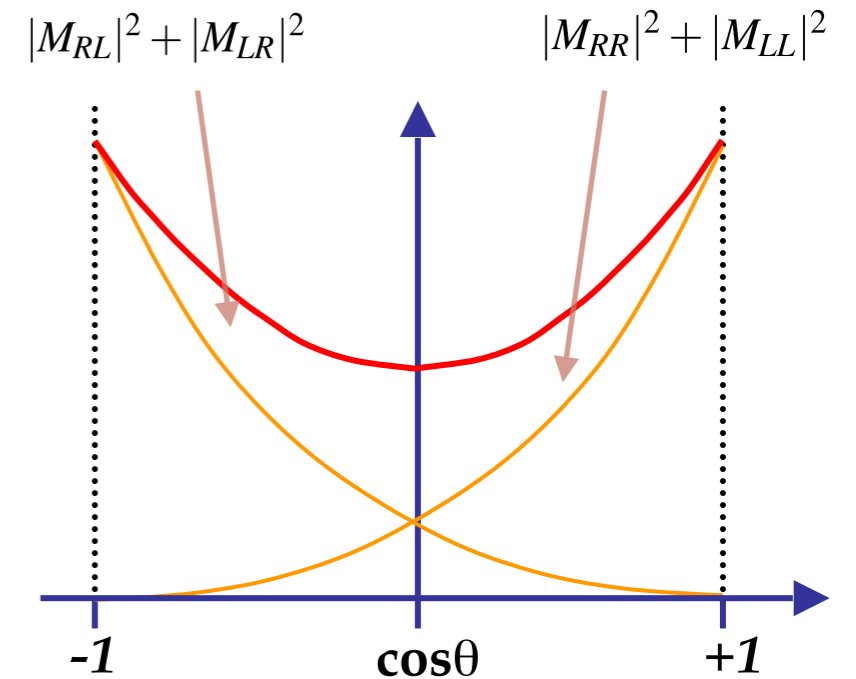
# SEÇÃO DE CHOQUE DIFERENCIAL

A seção de choque é obtida através da média sobre estados iniciais e da soma sobre estados finais:

$$\begin{aligned}\frac{d\sigma}{d\Omega} &= \frac{1}{4} \times \frac{1}{64\pi^2 s} (|M_{RR}|^2 + |M_{RL}|^2 + |M_{LR}|^2 + |M_{LL}^2|) \\ &= \frac{(4\pi\alpha)^2}{256\pi^2 s} (2(1 + \cos\theta)^2 + 2(1 - \cos\theta)^2)\end{aligned}$$



$$\boxed{\frac{d\sigma}{d\Omega} = \frac{\alpha^2}{4s} (1 + \cos^2\theta)}$$

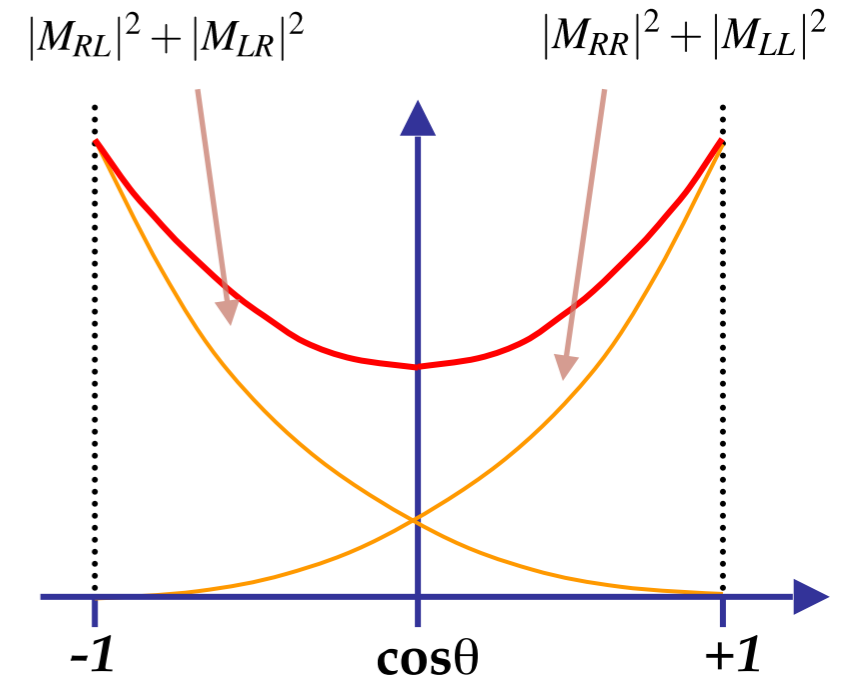


# SEÇÃO DE CHOQUE DIFERENCIAL

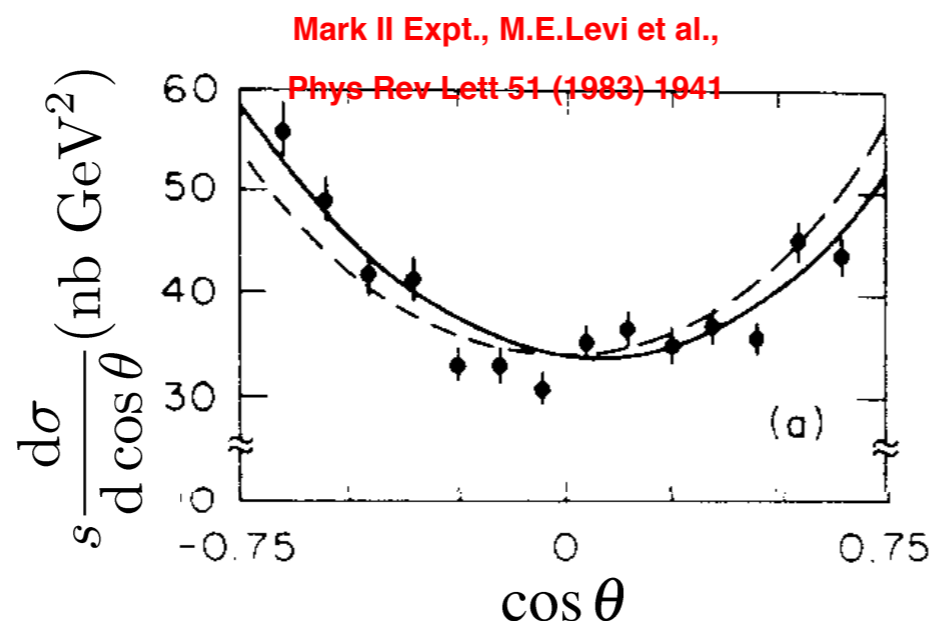
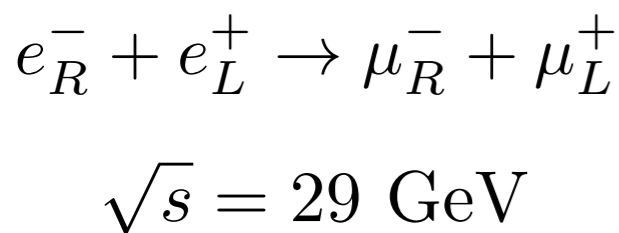
A seção de choque é obtida através da média sobre estados iniciais e da soma sobre estados finais:

$$\begin{aligned} \frac{d\sigma}{d\Omega} &= \frac{1}{4} \times \frac{1}{64\pi^2 s} (|M_{RR}|^2 + |M_{RL}|^2 + |M_{LR}|^2 + |M_{LL}|^2) \\ &= \frac{(4\pi\alpha)^2}{256\pi^2 s} (2(1 + \cos\theta)^2 + 2(1 - \cos\theta)^2) \end{aligned}$$

$$\Rightarrow \boxed{\frac{d\sigma}{d\Omega} = \frac{\alpha^2}{4s} (1 + \cos^2\theta)}$$



Experimento Mark II: M.E.Levi et al., PRL 51 (1983) 1941



----- QED pura,  $\mathcal{O}(\alpha^3)$   
 ——— QED mais Z

# SEÇÃO DE CHOQUE INTEGRAL

A seção de choque total é obtida integrando sobre  $\theta$  e  $\phi$ :

$$\int (1 + \cos^2 \theta) d\Omega = 2\pi \int_{-1}^{+1} (1 + \cos^2 \theta) d\cos \theta = \frac{16\pi}{3}$$

Finalmente, a seção de choque total para o processo  $e^- + e^+ \rightarrow \mu^- + \mu^+$  é:

$$\sigma = \frac{4\pi\alpha^2}{3s}$$



# SEÇÃO DE CHOQUE INTEGRAL

A seção de choque total é obtida integrando sobre  $\theta$  e  $\phi$ :

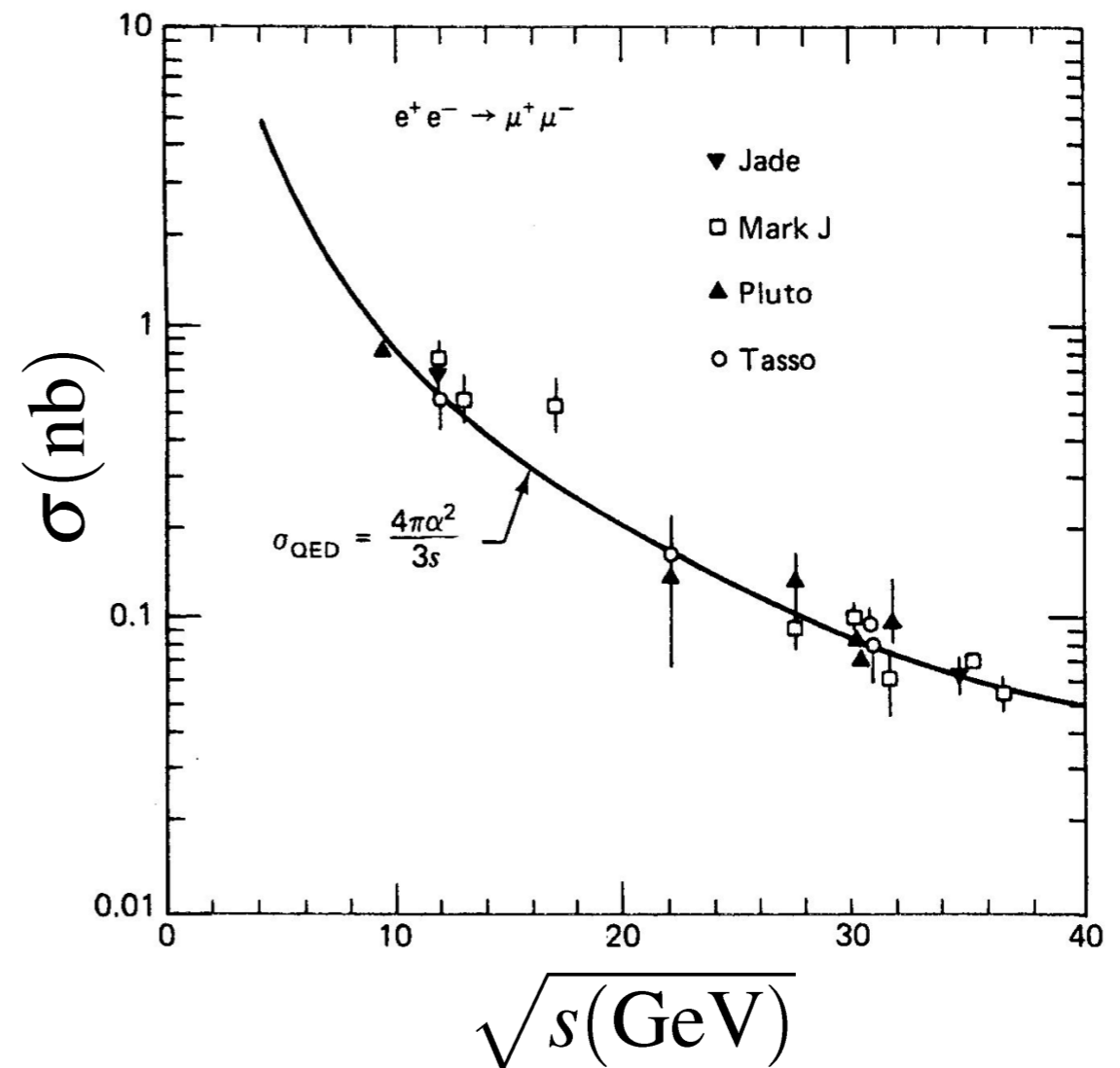
$$\int (1 + \cos^2 \theta) d\Omega = 2\pi \int_{-1}^{+1} (1 + \cos^2 \theta) d\cos \theta = \frac{16\pi}{3}$$

Finalmente, a seção de choque total para o processo  $e^- + e^+ \rightarrow \mu^- + \mu^+$  é:

$$\sigma = \frac{4\pi\alpha^2}{3s}$$

O cálculo em LO já descreve bem os dados experimentais!!!!

Obtivemos, a partir de primeiros princípios, a seção de choque da aniquilação elétron-pósitron, com erro  $\sim 1\%$ .





# MEDIDAS EM COLISORES



# COLISORES

Colisores são caracterizados, primariamente, por sua energia de centro de massa e sua luminosidade.

A luminosidade instantânea  $L$  caracteriza a taxa de eventos:

$$N = \sigma \int L(t) dt$$

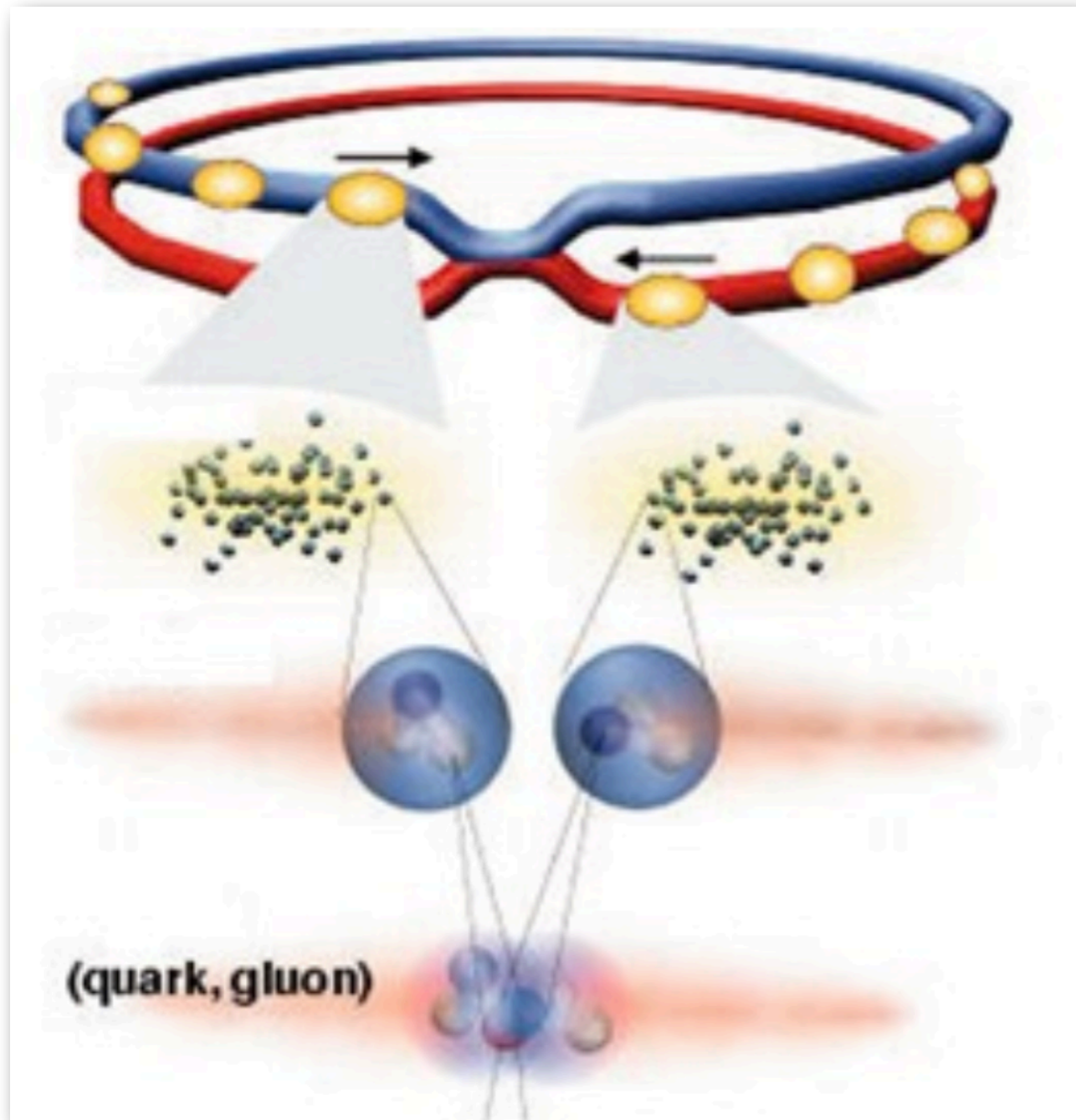
Número de interações

Seção de choque

Luminosidade Instantânea

The diagram shows the equation  $N = \sigma \int L(t) dt$  with three red arrows pointing from labels below to variables in the equation: from 'Número de interações' to  $N$ , from 'Seção de choque' to  $\sigma$ , and from 'Luminosidade Instantânea' to  $L(t)$ .

# LUMINOSIDADE INSTANTÂNEA



Assumindo um perfil gaussiano para os feixes, a luminosidade instantânea é expressa como:

$$L = f \frac{n_1 n_2}{4\pi\sigma_x\sigma_y}$$

$n$  → número de partículas num *bunch*  
 $f$  → frequência dos *bunches*  
 $\sigma$  → tamanho dos feixes

# UNIDADES

Unidade usual de luminosidade instantânea:  $\text{cm}^{-2}\text{s}^{-1}$

Unidade usual de  $\sigma$  em física nuclear e de partículas: 1 barn (bn) =  $10^{-28}\text{m}^2 = 10 \text{ fm} \times 10 \text{ fm}$

*Uma luminosidade instantânea de  $10^{-30} \text{ cm}^{-2}\text{s}^{-1}$  corresponde, para um evento com seção de choque de  $10^{-30} \text{ cm}^2$ , a uma taxa de 1 evento por segundo.*

Unidade usual para luminosidade integrada (representa o número de eventos coletados divididos pela seção de choque):  $\text{nb}^{-1}$  (nanobarn) ou  $\text{pb}^{-1}$  (picobarn)

**Unidades naturais:**

Grandeza	[kg, m, s]	$[\hbar, c, \text{Gev}]$	$[\hbar = c = 1]$
Energia	$\text{kg m}^2\text{s}^{-2}$	GeV	GeV
Momento	$\text{kg m s}^{-1}$	GeV/c	GeV
Massa	kg	$\text{GeV}/c^2$	GeV
Tempo	s	$(\text{GeV}/\hbar)^{-1}$	$\text{GeV}^{-1}$
Comprimento	m	$(\text{GeV}/\hbar c)^{-1}$	$\text{GeV}^{-1}$
Área	$\text{m}^2$	$(\text{GeV}/\hbar c)^{-2}$	$\text{GeV}^{-2}$

# EXERCÍCIOS

1. Planeja-se a construção de um futuro colisor linear para operar como uma fábrica de Higgs operando com energia do C.M.  $\sqrt{s} = 250 \text{ GeV}$ . A seção de choque para o processo  $e^+ + e^- \rightarrow H + Z$  é  $250 \text{ fb}$ . Se a luminosidade instantânea do colisor é  $2 \times 10^{-34} \text{ cm}^{-2}\text{s}^{-1}$  e ele deve permanecer operacional por metade do tempo, quantos bósons de Higgs devem ser produzidos em 5 anos de operação?
2. A seção de choque total do processo de aniquilação  $e^- + e^+ \rightarrow \mu^- + \mu^+$  é  $\sigma = 4 \pi \alpha^2 / 3s$ . Calcule a seção de choque para  $\sqrt{s} = 50 \text{ GeV}$ , expressando sua resposta em unidades naturais e em barns.

# SOLUÇÃO (1)

$$1 \text{ bn} = 10 \text{ fm} \times 10 \text{ fm} = 100 \times 10^{-30} \text{ m}^2 = 1 \times 10^{-24} \text{ cm}^2$$

$$\Rightarrow \sigma = 250 \times 10^{-15} \times 10^{-24} = 250 \times 10^{-39} \text{ cm}^2$$

$$\Rightarrow N = \sigma \times L \times \Delta t$$

$$= (250 \times 10^{-39} \text{ cm}^2) \times (2 \times 10^{34} \text{ cm}^{-2} \text{ s}^{-1}) \times (5 \times 360 \times 86400 \times 0.5 \text{ s})$$

$$\approx 390\,000 \text{ eventos}$$



## SOLUÇÃO (2)

$$\sigma = \frac{4\pi\alpha^2}{3s} = \frac{4\pi(1/137)^2}{3 \times 50^2} = 8.9 \times 10^{-8} \text{ GeV}^{-2}$$

$$\hbar c = 0.197 \text{ GeV fm}; \quad 1 \text{ fm} = 10^{-15} \text{ m};$$

$$1 \text{ fm}^2 = 10^{-30} \text{ m}^2 = 10^{-2} \text{ b}$$

$$\text{Unidade de área} = \left( \frac{\text{GeV}}{\hbar c} \right)^{-2}$$

$$\Rightarrow \sigma = 8.9 \times 10^{-8} \text{ GeV}^{-2} \times 0.197^2 \text{ GeV}^2 \text{ fm}^2 \times 10^{-2} \text{ bn fm}^{-2}$$

$$\Rightarrow \sigma \approx 34 \times 10^{-12} \text{ bn} = 34 \text{ pn}$$